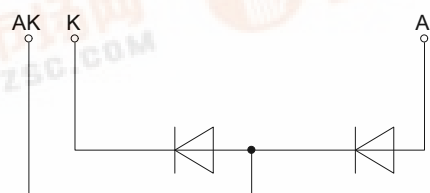
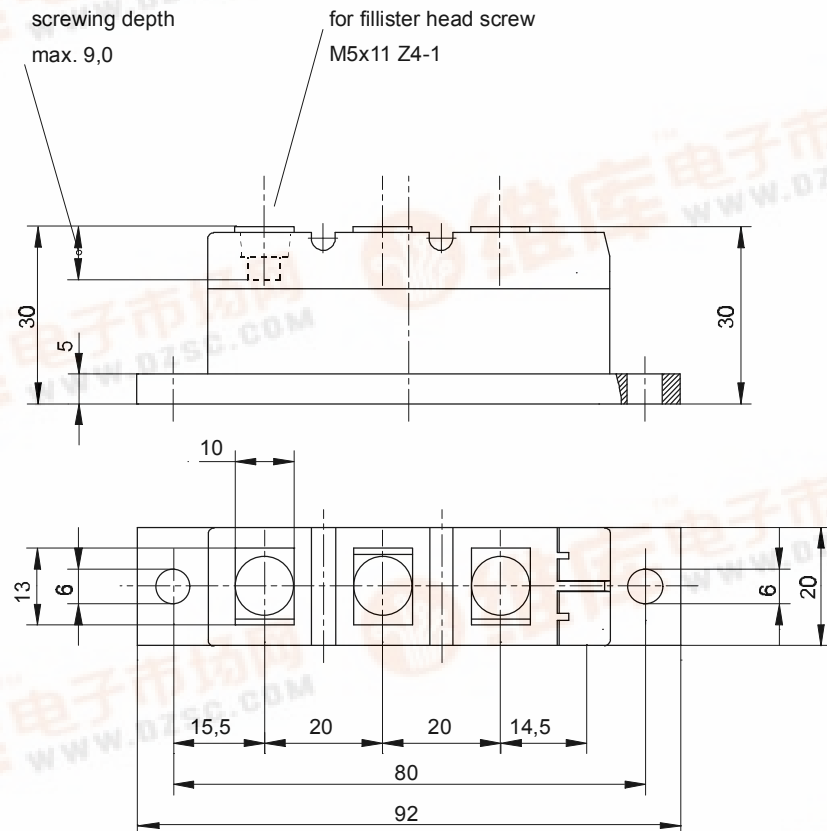




European Power-Semiconductor and Electronics Company

Marketing Information DD 89 N

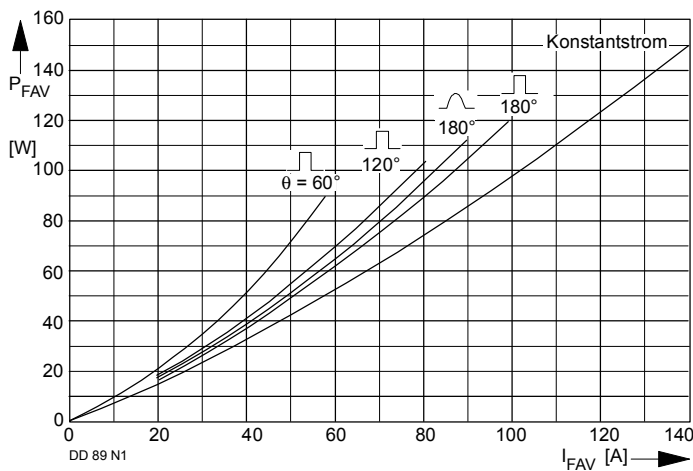


DD 89 N

Elektrische Eigenschaften						
Höchstzulässige Werte						
Periodische Spitzensperrspannung	repetitive peak reverse voltage	$t_{vj} = -40^\circ\text{C} \dots t_{vj\max}$	V_{RRM}	600 1400	800 1600	1200 1800 V
Stoßspitzensperrspannung	non-repetitive peak reverse voltage	$t_{vj} = +25^\circ\text{C} \dots t_{vj\max}$	V_{RSM}	700 1500	900 1700	1300 1900 V
Durchlaßstrom-Grenzeffektivwert	RMS forward current		I_{FRMSM}		140	A
Dauergrenzstrom	mean forward current	$t_c = 100^\circ\text{C}$	I_{FAM}		89	A
Stoßstrom-Grenzwert	surge forward current	$t_{vj} = 25^\circ\text{C}, t_p = 10\text{ ms}$ $t_{vj} = t_{vj\max}, t_p = 10\text{ ms}$	I_{FSM}		2,8 2,4	kA kA
Grenzlastintegral	$I^2 t$ -value	$t_{vj} = 25^\circ\text{C}, t_p = 10\text{ ms}$ $t_{vj} = t_{vj\max}, t_p = 10\text{ ms}$	$I^2 t$		39,2 . 10 ³ 28,8 . 10 ³	A ² s A ² s
Charakteristische Werte						
Durchlaßspannung	forward voltage	$t_{vj} = t_{vj\max}, i_F = 300\text{ A}$	v_F	max.	1,5	V
Schleusenspannung	threshold voltage	$t_{vj} = t_{vj\max}$	$V_{T(TO)}$		0,75	V
Ersatzwiderstand	forward slope resistance	$t_{vj} = t_{vj\max}$	r_T		2,3	mΩ
Sperrstrom	reverse current	$t_{vj} = t_{vj\max}, v_R = V_{RRM}$	i_R	max.	20	mA
Isolations-Prüfspannung	insulation test voltage	RMS, f = 50 Hz, t = 1 min	V_{ISOL}		2,5	kV
Thermische Eigenschaften						
Innerer Wärmewiderstand	thermal resistance, junction to case	pro Modul/per module, $\Theta = 180^\circ\text{ sin}$ pro Zweig/per arm, $\Theta = 180^\circ\text{ sin}$ pro Modul/per module, DC pro Zweig/per arm, DC	R_{thJC}	max. max. max. max.	0,225 0,450 0,215 0,430	°C/W °C/W °C/W °C/W
Übergangs-Wärmewiderstand	thermal resistance, case to heatsink	pro Modul/per module pro Zweig/per arm	R_{thCK}	max. max.	0,05 0,10	°C/W °C/W
Höchstzul.Sperrsichttemperatur	max. junction temperature	$t_{vj\max}$			150	°C
Betriebstemperatur	operating temperature	$t_c op$			-40...+150	°C
Lagertemperatur	storage temperature	t_{stg}			-40...+150	°C ²⁾
Mechanische Eigenschaften						
Gehäuse, siehe Seite	case, see page					1
Si-Element mit Druckkontakt	Si-pellet with pressure contact					
Innere Isolation	internal insulation					AlN
Anzugsdrehmoment für mechanische Befestigung	mounting torque	Toleranz/tolerance +/- 15%	M1		4	Nm
Anzugsdrehmoment für elektrische Anschlüsse	terminal connection torque	Toleranz/tolerance +5%/-10%	M2		4	Nm
Gewicht	weight		G	typ.	160	g
Kriechstrecke	creepage distance				12,5	mm
Schwingfestigkeit	vibration resistance	f = 50 Hz			50	m/s ²

²⁾ Gemäß DIN IEC 749 mit 747-1 gilt eine Zeitbegrenzung von 672 h. Für die im Betrieb auftretende Gehäusetemperatur gilt keine zeitliche Begrenzung. / According to DIN IEC 749 with 747-1 a time-limit of 672 h is defined. There is no time-limit set for case temperature during operation.

DD 89 N

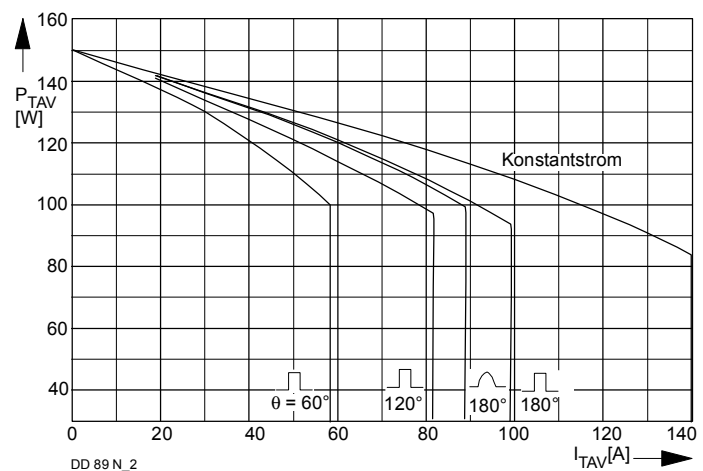


Bild/Fig. 1

Durchlaßverlustleistung P_{FAV} eines Zweiges

Forward power loss P_{FAV} per arm

Parameter: Stromflußwinkel / current conduction angle θ

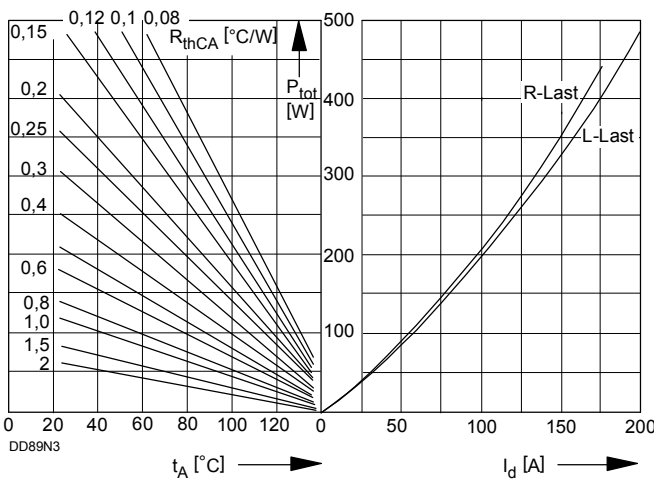


Bild/Fig. 2

Höchstzulässige Gehäusetemperatur t_C in Abhängigkeit vom Zweigstrom

Maximum allowable case temperature t_C in versus current per arm

Parameter: Stromflußwinkel / current conduction angle θ



Bild/Fig. 3

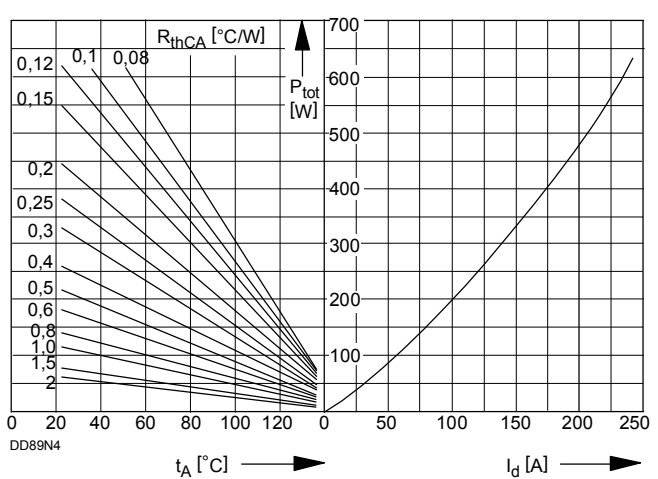
B2 - Zweiipuls-Brückenschaltung

Höchstzulässiger Ausgangsstrom I_d in Abhängigkeit von der Umgebungs-temperatur t_A .

B2 - Two-pulse bridge circuit

Maximum allowable output current I_d versus ambient temperature t_A .

Parameter: Wärmewiderstand zwischen Powerblock und Umgebung/ thermal resistance case to ambient R_{thCA}



Bild/Fig. 4

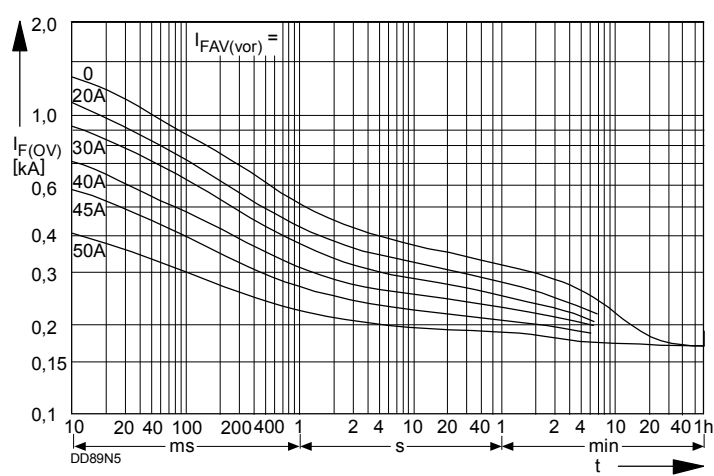
B6 - Sechspuls-Brückenschaltung

Höchstzulässiger Ausgangsstrom I_d in Abhängigkeit von der Umgebungs-temperatur t_A .

B6 - Six-pulse bridge circuit

Maximum allowable output current I_d versus ambient temperature t_A .

Parameter: Wärmewiderstand zwischen Powerblock und Umgebung/ thermal resistance case to ambient R_{thCA}



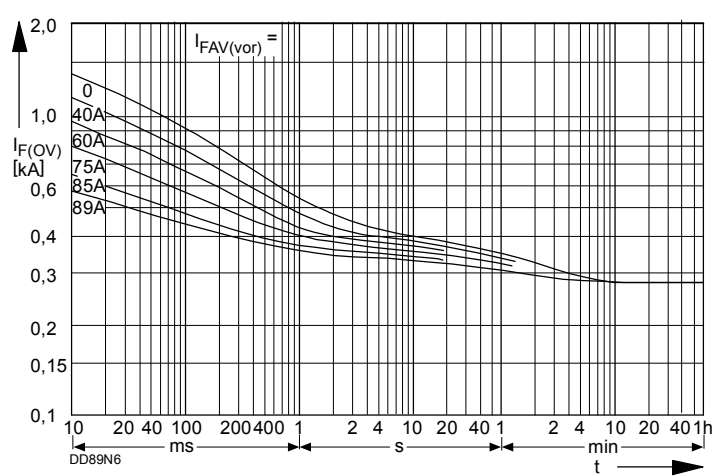
Bild/Fig. 5

B2 - Zweiipuls-Brückenschaltung/Two-pulse bridge circuit

Überstrom je Zweig $I_{F(OV)}$ bei Luftselbstkühlung, $t_A = 45^\circ\text{C}$, Kühlkörper KP 0,33 S.

Overload on-state current per arm $I_{F(OV)}$ at natural cooling, $t_A = 45^\circ\text{C}$, heatsink type KP 0.33 S.

Parameter: Vorlaststrom je Zweig/pre-load current per arm $I_{FAV(vor)}$



Bild/Fig. 6

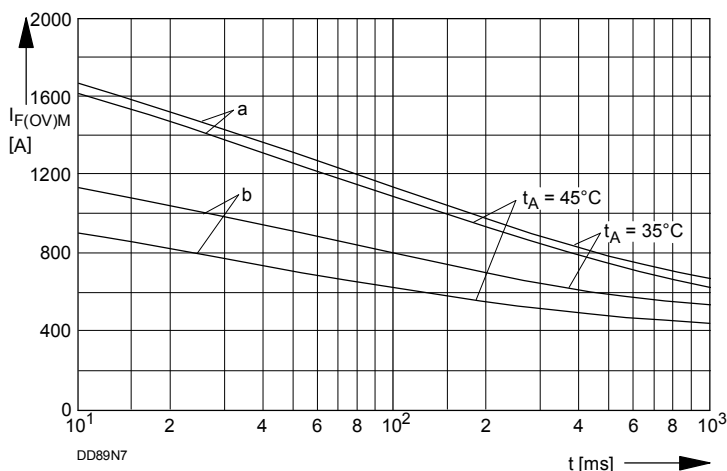
B2 - Zweiipuls-Brückenschaltung/Two-pulse bridge circuit

Überstrom je Zweig $I_{F(OV)}$ bei verstärkter Luftkühlung, $t_A = 35^\circ\text{C}$, Kühlkörper KP 0,33 S.

Overload on-state current per arm $I_{F(OV)}$ at forced cooling, $t_A = 35^\circ\text{C}$, heatsink type KP 0.33 S.

Parameter: Vorlaststrom je Zweig/pre-load current per arm $I_{FAV(vor)}$

DD 89 N



Bild/Fig. 7

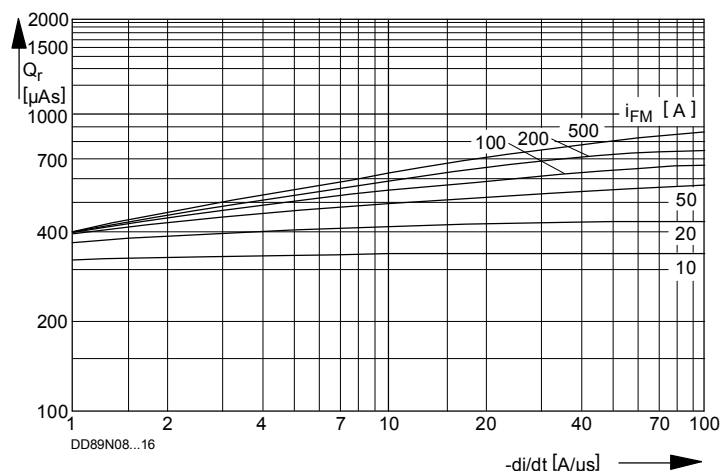
Grenzstrom je Zweig $I_{F(OV)M}$ bei Luftselbstkühlung, $t_A=45^\circ\text{C}$ und verstärkter Luftkühlung, $t_A=35^\circ\text{C}$, Kühlkörper KP 0,33 S, $V_{RM} = 0,8 V_{RRM}$.

Limiting overload on-state current per arm $I_{F(OV)M}$ at natural ($t_A=45^\circ\text{C}$) and forced ($t_A=35^\circ$) cooling, heatsink type KP 0,33 S, $V_{RM} = 0,8 V_{RRM}$:

a - Belastung nach Leerlauf/current surge under no-load conditions

b - Belastung nach Betrieb mit Dauergrenzstrom I_{FAQM}

Current surge occurs during operation at limiting mean on-state current rating I_{FAQM}

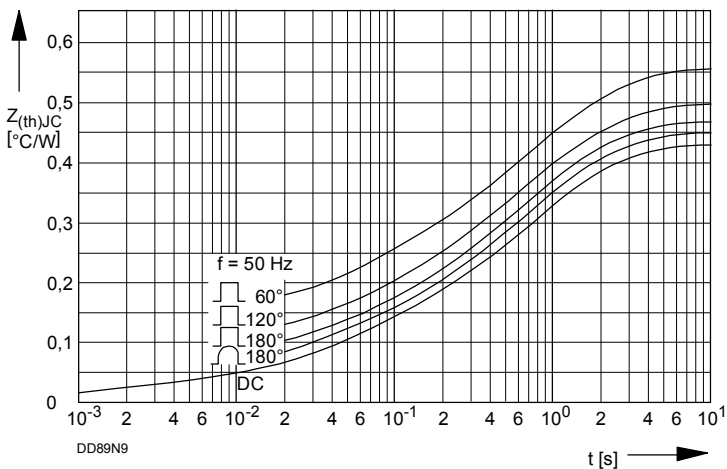


Bild/Fig. 8

Spererverzögerungsladung / Recovered charge $Q_r = f(-di/dt)$

$t_{vj} = t_{vj \max}, V_R \leq 0,5 V_{RRM}, V_{RM} = 0,8 V_{RRM}$

Parameter: Durchlaßstrom / Forward current i_{FM}



Bild/Fig. 9

Transienter innerer Wärmewiderstand je Zweig $Z_{(th)JC}$.

Transient thermal impedance, junction to case, per arm $Z_{(th)JC}$.

Analytische Elemente des transienten Wärmewiderstandes Z_{thJC} pro Zweig für DC
Analytical elements of transient thermal impedance Z_{thJC} per arm for DC

Pos. n	1	2	3	4	5	6	7
$R_{thn} [^\circ\text{C}/\text{W}]$	0,005	0,0195	0,0518	0,128	0,226		
$\tau_n [\text{s}]$	0,00004	0,00223	0,022	0,235	1,24		

Analytische Funktion / Analytical function:

$$Z_{thJC} = \sum_{n=1}^{n_{\max}} R_{thn} (1 - e^{-\frac{t}{\tau_n}})$$